

(336)

## 18-8ステンレス鋼の疲労軟化

東京大学工学部

○西脇健一  
藤田利夫

## 1. 緒言

前報において、18-8ステンレス鋼の加工誘発マルテンサイトの影響について報告した。一方、疲労挙動の損傷過程、特に疲労軟化に関する研究において、未だ解明されていない問題が多く残っている。そこで、本報においては、SUS304鋼(Table 1)を用いて、その軟化傾向に対する検討を行った。

## 2. 実験方法

試験片は、 $1050^{\circ}\text{C}$ で1か月溶体化処理後、水冷したものを用い、シンク式両振り平面曲げ試験機により、 $20^{\circ}\text{C}$ ,  $200^{\circ}\text{C}$ において、その疲労特性を調べた。また、 $20^{\circ}\text{C}$ ,  $\sigma = 30 \text{ kg/mm}^2$  ( $N = 1 \times 10^6 \text{ cycles}$  で破断)における繰り返し数0, 10, 100, 400, 1000, 2000, 4000, 10000 cycles で、繰り返し応力を止めた試験片に対して、光頭透過電顕による組織観察、X線回析によるマルテンサイト定量、走査型電顕による表面子裂観察を行った。また、微小硬度計による硬度測定を、試験片表面、及び内部bulkに対して行った。さらに、点欠陥、転位等の変化を調べるために、陽電子消滅による寿命測定、エネルギー測定を取り入れたが、これらについては、現在実験を行っている。

## 3. 実験結果

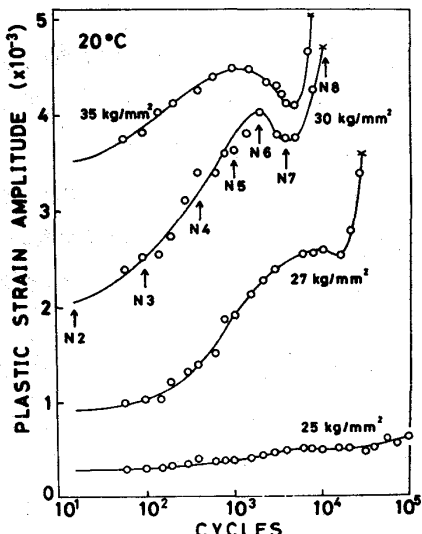
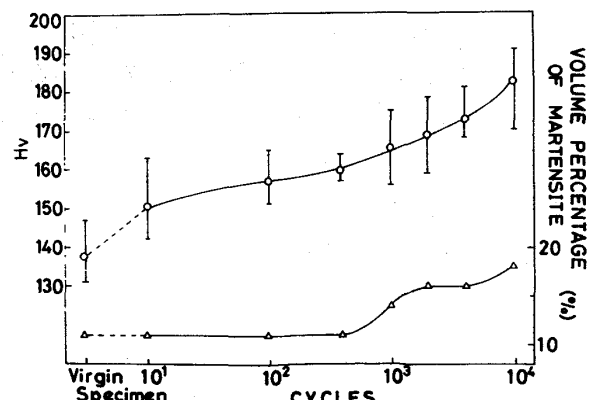
一定振幅応力値に対する歪振幅変化の測定により、 $20^{\circ}\text{C}$  (図-1),  $200^{\circ}\text{C}$  ( $> M_d \approx 100^{\circ}\text{C}$ ) 两者ともに、疲労軟化の傾向を示す。 $20^{\circ}\text{C}$ 共に、軟化傾向の後、破断前硬化を示しており、しかも、その硬化程度は高応力振幅側の方が高くはつていた。

室温において見られる加工誘発マルテンサイト生成量は、破断前若干の停留後、再び増加を示した。(図-2)

一方、繰り返し数増加に伴い、微小硬度は単調増加傾向を示した。また、内部bulkの微小硬度は、表面近傍に硬化層が見られ、振幅応力値が増加するにつれて高くなつていう傾向があつた。組織観察では、図-1のN2, 即ち  $N = 10 \text{ cycles}$  あたりで既にすべり線が見られ、繰り返し数増加に伴い、束状組織にまで成長する形態が確認された。さらに、N4で初期子裂の発生が認められ、子裂近傍に表面ストライエーションが形成されていた。また、破断後の各試料において、転位のセル形成傾向が認められた。

Table 1 Chemical composition of material (wt %)

Type 304	C	Si	Mn	P	S	Ni	Cr
	0.071	0.070	1.03	0.030	0.004	8.95	18.14

図-1 歪振幅変化( $20^{\circ}\text{C}$ )図-2 繰り返し数に対する微小硬度変化  
及ぶ加工誘発マルテンサイト量  
( $30 \text{ kg/mm}^2$ )

1) 関, 西脇, 藤田; 鉄と鋼, 64 (1978) 4, S 418

(30 kg/mm<sup>2</sup>)